

ДЕФОРМАЦИОННЫЕ (ПРУЖИННЫЕ) МАНОМЕТРЫ

Наиболее распространенным видом приборов для измерения давления являются деформационные (пружинные) манометры.

Ими охватывается диапазон измерения от одного десятка мм вод. ст. т. е. от 100 Па (10^{-3} кг/см 2) (ГОСТ 2648—60), до 1000 МПа (10^6 кг/см 2) (ГОСТ 2405—72). Погрешности деформационных приборов составляют от $\pm 0,16\%$ (ГОСТ 6521—60), до $\pm 4\%$, а в отдельных случаях и $\pm 6\%$ (в процентах от верхнего предела измерений). Они выпускаются не только в обычном исполнении, но и в выброустойчивом, антикоррозийном, пыле-, брызго- и взрывозащищенном исполнениях.

В корпусе этих приборов, отвечающем тем или иным специфическим требованиям исполнения, кроме основного узла — упругого чувствительного элемента, имеется также передаточный механизм.

Деформация упругого элемента обычно не может достигать сколько-нибудь значительной величины и ограничена препятствиями. Величина этой деформации служит мерой разности упомянутых давлений.

Деформация упругого элемента обычно не может достигать сколько-нибудь значительной величины и ограничена препятствиями. Величина этой деформации служит мерой разности упомянутых давлений.

Деформация упругого элемента обычно не может достигать сколько-нибудь значительной величины и ограничена препятствиями. Величина этой деформации служит мерой разности упомянутых давлений.

Наибольшее распространение в настоящее время получили упругие элементы типа трубчатых пружин. Трубчатая односторонняя пружина — это сплошная трубка выше всего звукового (звукового) или овального с прямолинейными участками (звукового) сечения (рис. 30, а, б и в), изогнутая по дуге окружности так, чтобы большая ось сечения была перпендикулярна к плоскости изгиба. Одни концы трубы закреплены неподвижно в цоколе манометра, через штуцер которого в трубку подается измеряемое давление. Другой свободный конец трубы запаян. Под влиянием избыточного внутреннего давления трубка несколько

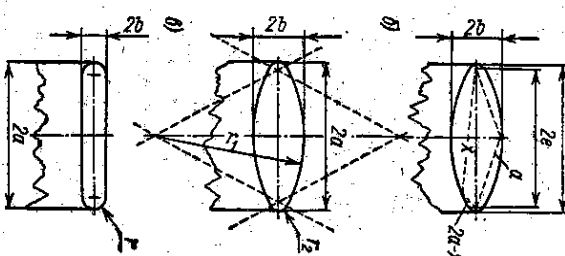
растягивается. Перемещение свободного конца трубы, вызванное передаточным механизмом, дает информацию о величине давления в измеряемом пространстве.

Трубчатая пружина была предложена французом Бурдоном в 50-х годах прошлого столетия. Возможность применения металлической трубы для измерения давления была открыта им случайно. По его сообщению, Общество гражданских инженеров в 1851 г. Бурдону понадобился змеенник, но мастер, которому было поручено изогнуть металлическую трубку по винтовой линии, неудачно произвел операцию: он сплющил значительную часть трубы. Чтобы ее выпрямить, один конец трубы закрыли, а другим концом соединили ее с насосом. При повышении давления увидели, что трубка сама собой развергается на некоторый угол. В результате явилась мысль использовать замечательное свойство трубки для устройства прибора, который служил бы для измерения давления.

Несмотря на давность применения эллиптической трубы для измерения давления, очень долго не было дано такое объяснение. Раскручивание трубы происходит вследствие того, что плоскость верхней стенки трубы, больше нижней и, следовательно, силы, действующие на них, различны. Поэтому при внутреннем давлении больше атмосферы трубы должна раскручиваться, а при разрежении внутри трубы, наоборот — скручиваться.

Простота и внешняя логичность этого рассуждения подкупают, однако они ошибочно. Действительно, основываясь на указанном рассуждении, необходимо заключить, что тонкостенная трубка круглого сечения, согнутая по дуге, тоже должна под влиянием внутреннего давления раскручиваться, так как налико же условия. Однако опыт этого не подтверждает: такая трубка не раскручивается при любых давлениях. Причину этого следует видеть в том, что разница площадей (верхней и нижней) настолько ничтожна, что внутреннее давление, действующее на нее, не в состоянии создать момента сил, способный вызвать заметное раскручивание достаточно жесткой изогнутой трубы.

В 1872 г. появилось более правильное объяснение, которое дал Хилл. В основу было положено, что под влиянием внутреннего давления малая ось поперечного сечения трубы



увеличивается, но длина трубы остается неизменной и что труба, будущая деформации, согнута по дуге окружности, после

деформации также сохраняет форму дуги окружности.

Пусть через ψ (рис. 31) будет обозначен угол между радиусами, проведанными к центрам поперечных сечений в начале и в

конце длины пружин (центральный угол трубы), через R — размеры этих радиусов, а через b — размер малой полуоси среднего контура поперечного сечения трубы, имеющей до деформации одинаковую длину.

Из условия неизменности длины трубы до и после деформации следует, что ее наружная часть, начиная с начальной радиусом $R + b$, так же, как и внутренняя, после де-

формации сокращается на величину, равную $R - b$, так же, как и внутренняя, начиная с радиусом $R - b$, сокращается на величину $R - b$. Таким образом, будем иметь:

$$\psi(R - b) = \psi'(R' - b'). \quad (41)$$

Вычитая из первого уравнения второго и разделив обе части полученного уравнения на два, имеем:

$$\psi b = \psi' b'. \quad (42)$$

Полученный результат является общим для трубы с поперечным сечением, поэтому трубчатая пружина равнодействующий радиус трубы R' увеличивается, если поперечный центральный угол ее в деформированном состоянии, т. е. трубка должна разогнуться. Положим, что в результате деформации, увеличение малой полуоси поперечного сечения b равно Δb . Чтобы удовлетворить уравнение (42), угол ψ должен уменьшиться на некоторую величину $\Delta\psi$, т. е.

$\psi = (\psi - \Delta\psi)(b + \Delta b)$ или $(\Delta\psi - \psi)/\psi = -\Delta b/(b + \Delta b)$.

Прибавив по единице к правой и левой частям последней пропорции, получим окончательно

$$\Delta\psi/\psi = \Delta b/(b + \Delta b). \quad (43)$$

Пользуясь выраженным соотношением (43), и определив, что изменение малой полуоси Δb , теперь легко найти и величину относительной угловой деформации трубы $\Delta\psi/b$, происходящей в плоскости ее симметрии.

Величина Δb может быть найдена как деформация эпилептического колеса, испытывающего внутреннее давление p . Однако результат, полученный таким образом, не может быть пра-

вильным. Для иллюстрации этого положения выделим (рис. 32) двумя перенесенными сечениями $B'E$ и $C'H$ колесо, имеющие эпилептическую овальную форму: элемент трубчатой пружины $BCHE$, сечение которого плоскостью симметрии представлена на рисунке фигурами $ABC'D$ и $EFGH$.

Если в основу вывода равенства (42) было положено упрощение — неизменность длины продольных волокон материала трубы, то за самом деле увеличение оди $2b$ на $2\Delta b$ и сокращение с этим уменьшение угла BOC имеет следствием появление сил R и S , действующих на сжимающих стяжку трубы $ABCD$, и сил R и S , сжимающих $EFGH$. Вызванные ими реакции работают на трубку, что не учитывалось при выводе формул (43). Помимо того, силы упругости, противодействующие разгибанию трубы, будут уменьшать полученную без учета их величину. Деформации полусоси сечения Δb . Таким образом, в действительности трубчатая пружина испытывает деформации $\Delta\psi$, значительно меньшие по величине, нежели значения, полученные упрощенным путем.

Приведенный анализ показывает, что внутреннее избыточное давление $p_{\text{вн}}$ вызывает в рассматриваемой пружине концентрических к ней поперечных сечениях и в зоне напряженных стяжек и в зоне избыточного давления $p_{\text{вн}}$ симметрии пружины, как и в поперечных сечениях, имеющих место как в плоскости симметрии пружины, так и в перпендикулярных к ней поперечных сечениях взаимно связаны. Поэтому формулы, описывающие зависимости деформаций и внутренних напряжений от давления p , от свойств материала и от размеров трубчатых пружин, примененные, например, в [1], все же недостаточно точны. Тем не менее практика изложения и выбор типа манометров значительно облегчается в том случае, если известны основные закономерности и тенденции, обуславливающие их конструктивные и эксплуатационные свойства. Это оправдывает применение приложенных ниже формул.

Относительная угловая деформация $\Delta\psi/b$ тонкостенной трубчатой пружины ($b/h > 7$) под влиянием внутреннего избыточного давления p по Форстеру выражается формулой

$$\frac{\Delta\psi}{\psi} = \rho \frac{1 - \mu^2}{E} \frac{R^2}{bh} \left(1 - \frac{b^2}{a^2}\right) \frac{a}{b + a^2}, \quad (44)$$

где μ — главный параметр трубчатой пружины, $\mu = Rh/a$; μ — коэффициент Пуассона, $\rho = 0.3$ для большинства металлов; для

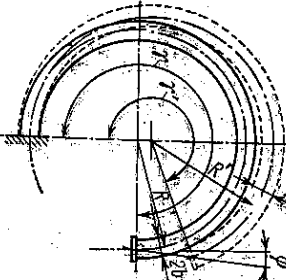


Рис. 31. Трубчатая пружина до и после деформации

и разделив обе части полученного уравнения на два, имеем:

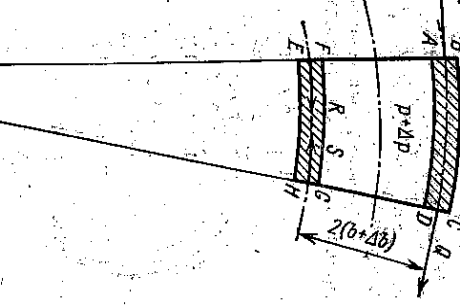


Рис. 32. Реакции, вызванные деформацией малой полуоси поперечного сечения трубы-пружины

бронзы $E = 0.4$, E — модуль упругости материала пружины; для латуни $J-68 E = 10^6 \text{ кгс/см}^2$; для бронзы $E = 1.35 \cdot 10^6 \text{ кгс/см}^2$; для стали $E = 2 \cdot 10^6 \text{ кгс/см}^2$; R — радиус изгиба центральной оси трубы в плоскости ее симметрии; h — толщина стенки трубы; b — большая полуось среднего контура сечения трубы; a и β — безразмерные коэффициенты, значение которых приведено в табл. 9 в зависимости от формы поперечного сечения и отношения полусей ab .

Перемещение конца трубы по направлению полуси касательной к оси трубы в ее конце равно

$$w_t = \frac{\Delta y}{y} R(y - \sin y). \quad (45)$$

Перемещение по радиусу трубы

$$w_r = \frac{\Delta y}{y} R(1 - \cos y). \quad (46)$$

Полное перемещение определяется, как

$$w = \sqrt{w_t^2 + w_r^2}, \quad (47)$$

а направление полного перемещения образует острый угол Φ , отсчитываемый от касательной, проведенной к дуге изгиба пружины в точке, соответствующей ее свободному концу.

$$\Phi = \arctg \frac{1 - \cos y}{y - \sin y}, \quad (48)$$

где y — центральный угол трубчатой пружины.

При угле $y = 270^\circ$, применяемом чаще всего в приборах с одновитковой пружиной, полное перемещение $w = 5.8R\Delta y/y$ направлено во внешнюю сторону под углом $\Phi = 10^\circ$ к касательной к оси трубы в ее конце. Согласно выражениям (45) и (46), перемещения свободного конца трубы-пружины происходят по прямой линии и прямо пропорциональны величине y , т. е. согласно формуле (44), пропорциональны измеряемому избыточному давлению $p_{\text{из}}$.

Выражения (45) и (46) получены приложением довольно громоздких более точных формул. Для вывода этих формул необходимо рассмотреть (рис. 33) переднюю конец трубчатой пружины (оси) трубы, расположенной на свободном конце пружины. При выводе имеется в виду, что осевая линия трубы сохраняет неизменными свою длину и форму дуги окружности, а точка B противоположного защемленного конца пружины в касательной к окружности в этой точке неподвижна.

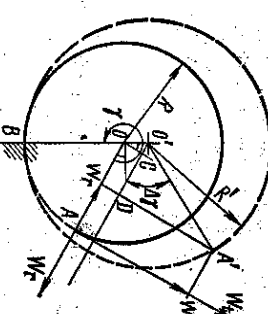


Рис. 33. К выводу закона перемещений свободного конца трубчатой пружины

Центр окружности перемещается из точки O в точку O' на величину $R' - R$. Так как $R' = Ry(y - \Delta y)$, то, произведя вычитание, получим

$$R' - R = \frac{R \Delta y / y}{1 - \Delta y / y}.$$

Из рис. 33 видно, что

$$w_t = (R' - R) \cos \left(y - \frac{3}{2} \pi \right) + R' \sin \Delta y = \frac{\sin \Delta y - (\Delta y / y) \sin y}{1 - \Delta y / y} R.$$

Для радиальной составляющей

$$w_r = R' \cos \Delta y - R - (R' - R) \sin \left(y - \frac{3}{2} \pi \right) = \\ = \left[\frac{\cos \Delta y - (\Delta y / y) \cos y}{1 - \Delta y / y} - 1 \right] R.$$

Так как Δy весьма мало по сравнению с y и никогда не превышает 4° , то, не совершая большой ошибки, можно преобразовать величину $\Delta y / y$ по сравнению с единицей и считать $\sin \Delta y = \Delta y$, а $\cos \Delta y = 1$. В этом случае выделенные точные формулы для w_t и w_r превращаются в выражения (45) и (46).

Исследование точных формул показывает, что одинаковым уменьшением центрального угла Δy , т. е. одинаковым приращением измеряемого давления (по мере увеличения давления), линейные перемещения свободного конца трубчатой пружины, мерой подобного отклонения от пропорциональной зависимости, может служить увеличение dw/dy , характеризующее предел отношения бесконечно малого перемещения свободного конца трубчатой пружины Δw к соответствующему Δy . Оно составляет около 3,0% при изменении угла y от 270° до 266° , т. е. на 4° . Причиной этого является увеличение расстояния между ее закрепленным и свободным концами, т. е. увеличение радиуса перемещения свободного конца пружины. Характер изменения в этом случае величин w_t и w_r (мм) при $R = 100$ мм показан в табл. 8.

Таблица 8
Координаты перемещений свободного конца трубчатой пружины

$y - \Delta y$	270°	269°	268°	267°	266°
w_t	0	2,124	4,282	6,416	8,584
w_r	0	0,356	0,685	0,985	1,256

Приведенная закономерность показывает, что перемещения свободного конца пружины на рассматриваемом участке движения очень близки к прямолинейным. При длине портала 8,7 мм максимальное отклонение от средней части прямой, соединяющей

конца рассматриваемого участка пружины и представляющейся краем конца.

В материале трубчатой пружины при этого рода деформациях возникают напряжения σ_1 , перпендикулярные к некоторому сечению пружины, и напряжение σ_2 в поперечном сечении, которые в зависимости от давления p определяются формулами

$$\sigma_1 = p \frac{R^2}{a^2} \left(1 - \frac{b^2}{a^2}\right) \frac{3}{\beta + \kappa} \left(\frac{2}{\kappa} \Phi \pm \mu \Omega\right); \quad (49)$$

$$\sigma_2 = p \frac{R^2}{a^2} \left(1 - \frac{b^2}{a^2}\right). \quad (50)$$

Знак плюс соответствует наружному, а знак минус внутреннему контуру сечения пружины. Численные значения безразмеренных коэффициентов Φ и Ω приведены в табл. 9 для середин широких и узких участков поперечного сечения в зависимости от вида и степени сплющенности сечения.

Таблица 9

Коэффициенты α , β , Φ и Ω к расчету трубчатых

Вид сечения	a/b								
	1	1,5	2	3	4	5	6	8	10
Расчетный коэффициент									
α	0,750	0,636	0,566	0,493	0,452	0,430	0,416	0,400	0,390
β	0,665	0,662	0,658	0,645	0,644	0,643	0,642	0,642	0,642
Ф. шир	—	0,034	0,027	0,025	0,025	0,025	0,024	0,024	0,023
Узк	—	0,031	0,029	0,025	0,023	0,022	0,021	0,021	0,021
Эллиптический	—	0,045	0,042	0,039	0,037	0,037	0,036	0,035	0,035
Ω шир	—	0,035	0,038	0,061	0,053	0,064	0,065	0,065	0,066
Ω узк	—	0,035	0,038	0,061	0,053	0,064	0,065	0,065	0,066
Плоскоovalьный									
α	-0,637	-0,594	-0,548	-0,480	-0,437	-0,408	-0,388	-0,360	-0,333
β	-0,665	-0,636	-0,566	-0,515	-0,421	-0,321	-0,212	-0,119	-0,048
Ф. шир	-0,063	-0,053	-0,033	-0,027	-0,025	-0,023	-0,021	-0,019	-0,004
Узк	-0,060	-0,060	-0,060	-0,060	-0,060	-0,060	-0,060	-0,060	-0,060
Ω шир	—	0,56	0,51	0,46	0,42	0,40	0,40	0,38	0,37
Ω узк	—	-0,45	-0,49	-0,45	-0,38	-0,30	-0,20	-0,12	-0,03

Действует одновременно в разных направлениях в один и тот же точке материала трубы, осевое и поперечное напряжения образуют эквивалентное напряжение, согласно теории прочности, равное

$$\sigma_{экв} = \sqrt{\sigma_1^2 + \sigma_2^2 + \sigma_{12}^2}. \quad (51)$$

Полученное эквивалентное напряжение должно обеспечивать нормальную работу прибора, т. е. не превышать предел пропорциональности материала трубы. Для латуни это ориентировано от 250 до 450 кг/см², для бронзы — от 350 кг/см² до 700 кг/см².

для стали — от 1500 до 3000 кг/см², в зависимости от легированности, приемов и обработки.

Для удобства использования прибором, желательно, чтобы деформации упругого элемента были как можно точнее, прямо пропорциональны давлению.

Закон Гука,гласящий, что под влиянием нагрузки упругие грузы (в нашем случае величине давления), как известно, зависят только до определенного предела увеличением нагрузки, называемого пределом пропорциональности. Механические свойства

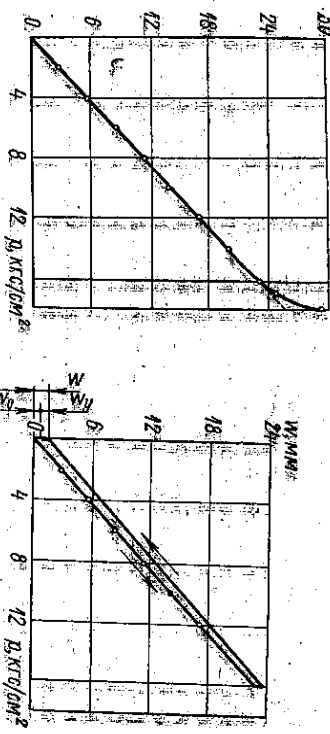


Рис. 34. График зависимости конца пружины от давления p конца трубы.

Рис. 35. График упругого состояния трубы и остаточной деформации ΔL_0 при гистерезисе.

материала пружины зависят от его химического состава, характера механической и термической обработок, которым была подвергнута пружина при изготовлении, а также и от температуры, при которой пружина должна работать.

Сообщая трубчатую пружину постепенно возрастающее давление и измеряя перемещение ее свободного конца, соответствующее каждому давлению, а затем изобразив графически зависимость перемещений от давлений, получим, например, кривую, изображенную на рис. 34. Как видно из рисунка, до давления примерно в 16 кг/см² кривая изображается прямолинейным участком, т. е. перемещение конца трубы прямо пропорционально приложенному давлению. Выше этого предела, являющегося в данном случае пределом пропорциональности, деформация начинает расти быстрее давления, и, следовательно, пропорциональность нарушается. Если описанное исследование выполнить вскоре, то, конечно, что обнаруживается, что даже в пределах пропорциональности, после того как деформация быстро достигнет величины, приблизительно соответствующей соотношению давлению, деформация продолжает медленно возрастать, асимптотически приближаясь к окончательной, предельной величине, хотя давление (рис. 35) не изменяется. Такое постепенное, с течением времени,

увеличение деформации получило название *упругого последействия*. Величина упругого последействия тем больше, чем ближе давление подходит к пределу пропорциональности данной трубы. В некоторых случаях при давлении, равном пределу пропорциональности, упругое последействие достигает 2% от соответствующей величины давлению деформации, тогда как при давлении в 50% от предела пропорциональности в этих же упрухих элементах упругое последействие составляет всего 0,5%.

Если теперь давление понизить, то конец трубы на величину w не возвращается в то положение, которое он занимал вначале при $p = 0$. Потребуется некоторое время (проявление упругого последействия) прежде, чем конец трубы приблизится к величину w_0 к первоначальному положению — для разных пружин от нескольких минут до нескольких часов и даже суток. Точно до первоначального положения конец трубы не возвращается даже по истечении сколь угодно большого промежутка времени. Подобное явление представляет второе отклонение от закона Гука и носит название *остаточной деформации*. При повторных нагрузках величины остаточных деформаций w накапливаются. В результате с течением времени погрешность измерения давления резко возрастает. Изложимся объясняется то, что для технических (рабочих) манометров верхний предел измерения ограничивается половиной давления, соотвествующего пределу пропорциональности работающих в них трубчатых пружин. Кроме того, для обеспечения необходимого на практике запаса надежности и достоверности показаний технических манометров ГОСТ 2405—72 допускает, чтобы рабочий предел измерений избыточного давления не превосходил $\frac{1}{4}$ верхнего предела измерения манометра при постоянном давлении и $\frac{1}{3}$ верхнего предела измерения прибора при переменном давлении.

Для контрольных манометров верхний предел измерений назначается не более трех предела пропорциональности. В образованных же манометрах остаточные деформации и упругое последействие совершаются не должны быть заметны. Имеется также виду, что во время поверок давление в образованных манометрах доводят непосредственно до верхнего предела. Поэтому для них верхний предел измерения ограничивают четвертой частью предела пропорциональности, применяемых в них трубчатых пружин.

Трубчатые пружины для давлений до 50 кгс/см² изготавливаются из латуни, томпака, лучше — из бронзы (сплавов меди с цинком, свинцом или оловом) либо из более сложных сплавов на медной основе. Особо высоким качеством обладает бериллиевая бронза. Свыше 5 МПа (50 кгс/см²) чаще применяют легированную сталью различных составов. В последнее время начато применение сплавов никеля.

С повышением рабочей температуры предел пропорциональности пружин снижается, а упругое последействие и остаточные деформации возрастают. По этой причине, например, манометры, измеряющие давление пара, имеющего температуру, недопустимо высокую для трубчатых пружин, отеляют от пара гиравлическим затвором. Половину давления трубы свертывают в виде вертикально расположенных пологих спиральных витков, в которых накапливается конденсат, который и играет роль гидравли-

ческого затвора. В результате манометр всегда имеет температуру окружающей среды.

Температурная погрешность, т. е. изменения показаний с изменением температуры, для трубчатых пружин колеблется в весьма широких пределах (от 0 до 0,0013 на каждый °C и каждый кгс/см²), даже для пружин, изготовленных из одного и того же материала. При промышленных измерениях эти изменения несущественны и вводить на них поправку нет необходимости. При точных же измерениях вводить поправку затруднительно из-за неопределенности температурного коэффициента. Для тонкого измерения давления при температуре, отличной от нормальной (20 °C), выбирая прибор, следует убедиться в том, что он в этих условиях либо не изменяет замеса своей градуировки, либо если и изменяет, то (для возможности введения поправок) — что эти изменения имеют постоянный и закономерный характер. Вместо этого практически в этом случае вывести трубку, передающую измеряемое давление, в контрольное помещение с нормальной температурой (20 °C). Если при этом показания манометра невозможно иметь непосредственно на месте отбора давления, то следует применить дистанционную передачу показаний из контрольного помещения.

По устойчивости к воздействию температуры приборы в настоящее время (ГОСТ 2405—72) начали изготавливать четырехгруппы: наиболее устойчивые в интervale от -50 до +60 °C и наименее устойчивые, от 10 до 35 °C. При этом изменение показаний приборов Δ (в процентах) не превышает значений, определяемых по формуле

$$\Delta = \pm [X + K(t_0 - t_1)],$$

где X — разность между показаниями при прямом и обратном ходе нагружения манометра; K — температурный коэффициент, установленный техническими условиями на прибор, но не более 0,04/°C; t_1 — температура в момент измерения (в допустимых пределах изменения ее).

Как видно из формулы (44), чувствительность пружины, т. е. перемещения ее конца, соответствующие единичному изменению измеряемого давления, растет с уменьшением толщины ее стеклок k , с увеличением отношения a/b ее попеченного сечения и с увеличением радиуса R и центрального угла Y ее кривизны. С увеличением чувствительности (при одном и том же материале) указанное выше изменение параметров k , R и a/b приводит, как это следует из формул (49) и (50), к уменьшению верхнего допустимого для данной пружины, предела измеряемого давления.

При выборе размеров пружины для данных уставий применения имеется лишь возможность изменять между собой соотношение отдельных параметров. Например, уменьшать угол Y можно (при небольших давлениях) за счет увеличения отношения a/b , как это делают для таких приборов, как термографы для записи температуры окружающего воздуха, где $Y = 90^\circ$, но зато $a/b = 10$. Наоборот, сохранив a/b небольшим, увеличивают Y (для увеличения работоспособности прибора, т. е. для увеличения пределения свободного конца, сохранив при этом незаменимыми перестановочное усилие и допустимую погрешность).

доволя величину угла ψ до пяти и даже семи витков, расположенных либо в одной плоскости (спиральные пружины), либо на одной цилиндрической поверхности (эллиптические пружины промышленных самопищущих манометров).

Практика показала, что при достаточно высоких давлениях даже совершенно прямая пространственная трубка с эксцентрическим продолжением, не доходящим до конца отверстия, под действием внутреннего давления испытывает некоторый изгиб. Такие неизогнутые трубчатые пружины применяются, например, в качестве чувствительных элементов в новых приборах ГСП (Государственных Системах Приборов) с верхними пределами измерения от 1000 до 10 000 кгс/см².

Класс точности этих приборов, правда, не выше 1,06, из чего можно сделать вывод о неизменительном пропорциональном изменении изгиба и работоспособности трубок этого типа.

Изготовление трубчатых пружин для давлений ниже 1000 кгс/см² невозможно, например, из листа, обжимаемого стальной оправой, имеющей в зоне изгиба эллипс или овал, спаянных звездчатыми специальными прибором и изгибаемых по дуге окружности. Затруднительность изготовления эластичных изгибаемых трубок, имеющих овальное сечение, связана с изогнутых по дуге окружности и предназначенных для измерения выше 1000 кгс/см², привела к тому, что были предложены и внедрены в производство жесткие трубчатые пружины круглого сечения с небольшим эксцентрическим продольным отверстием (трубы Нагатки). Чтобы избежать также и трубостяжек, связанных с изогнутием трубок с эксцентрическим продольным отверстием, предложено к обычной толстостенной изогнутой трубке приваривать с внутренней стороны металлическую полосу. Достигаемое таким образом увеличение трубы имеет односторонний характер и равновеликое эксцентрическость

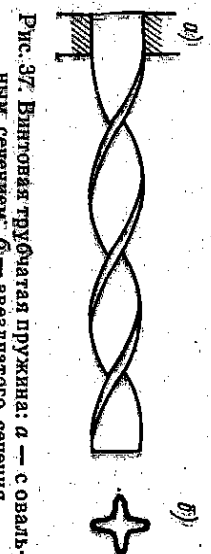
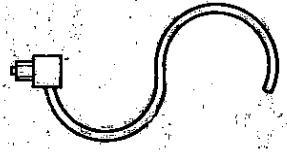


Рис. 37. Винтовая трубчатая пружина: а — с овальным сечением; б — звездчатого сечения

давления на площадь ее загнутого (свободного) конца, а главным образом тем, что под влиянием внутреннего давления большинство полуосей поперечных сечений пружин сокращаются. Образующие их внешними концами две винтовые линии прилегающие к ним продольные участки трубки, сохраняя свою длину, становятся более пологими, т. е. выпрямляются и растягивают винтовую трубку.

Несколько лучшие результаты получаются, если вместо овального применяют четырехлучевое, звездчатое сечение. Такое сечение можно представить как слившие между собой два овальных сечения, расположенные под углом 90° одно к другому (рис. 37, б). Значительными трудностями изготовления обусловлены сравнительно невысокие механические свойства первых образцов этих удругих элементов. Угол поворота свободного конца винтовой трубчатой пружины, вокруг ее оси, может достигать 40—60°. В этом случае отпадает необходимость в передаточном механизме, так как стрелка может быть укреплена непосредственно на свободном конце пружины.

В обоих случаях при увеличении давления внутренняя стенка изогнутой по дуге трубки более толстовата, чем наружная стенка, почти не испытывает деформации в плоскости поперечного сечения. Наружная же стена трубки, более тонкая, деформируется, перемещаясь по направлению радиуса изгиба трубы, заставляемого последним разгибаться. В некоторых условиях оказывается удобным придавать трубчатой пружине *Эллиптическую форму* (рис. 36) для сокращения занимаемого ею пространства при хранении значительных перемещений свободного конца. Такой упругий элемент представляет собой две одноконцевые трубчатые пружины, расположенные в одной плоскости и являющиеся продолжением одна другой, но имеющие различные направления витков.

Еще одна разновидность пружиновых изогнутых трубок в СССР. Это (рис. 37) сплошная тонкостенная прямая трубка, овальная или эллиптическая поперечные сечения которой повернуты в их

плоскостях вокруг центральной оси трубы так, что большие их полуоси образуют *вилковую* поверхность. Одна конец трубы за jakiгивающего усилия, такая трубка расшаривается. Указанное растягивающее усилие, если трубка свободно внутреннее избыточное давление, обуславливается только отсутствием действия этого

22. МЕМБРАННЫЙ УПРУГИЙ ЭЛЕМЕНТ, ЕГО ОСОБЕННОСТИ И ВЛИЯНИЕ НА НЕГО

Мембрана в качестве упругого элемента для измерения давления применяется реже, чем трубчатая пружина. Она представляет гибкую, закрепленную по периметру перегородку, замыкающую пространство, в котором газ или жидкость находится под измеряемым давлением. Таким образом, по одни сторону мембранны действует измеряемое давление, а по другую — атмосферное. Линейные перемещения центра мембранны под влиянием различия давлений являются мерой измеряемого избыточного давления.